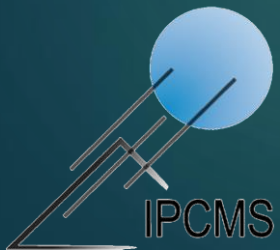


Que se passe t'il quand le chaos déterministe rencontre le mouvement brownien ?

Trayter Vincent



Université

de Strasbourg

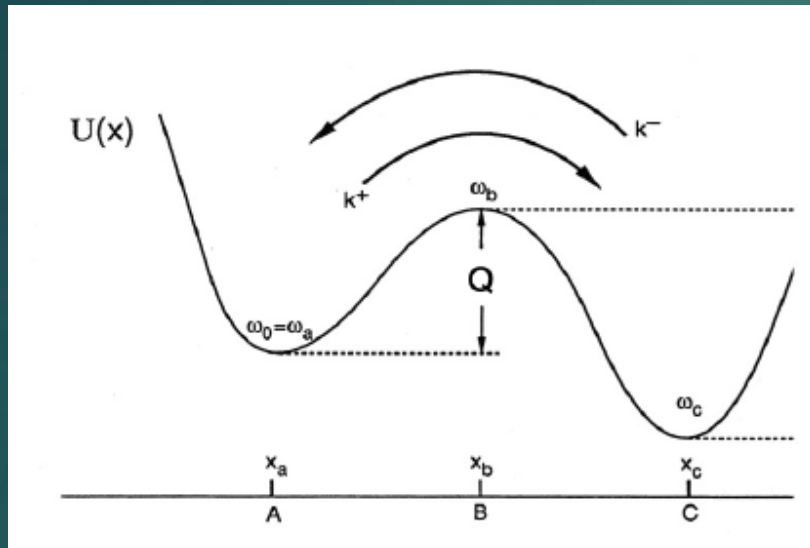
Stage M1 Physique
2018-2019

Sommaire

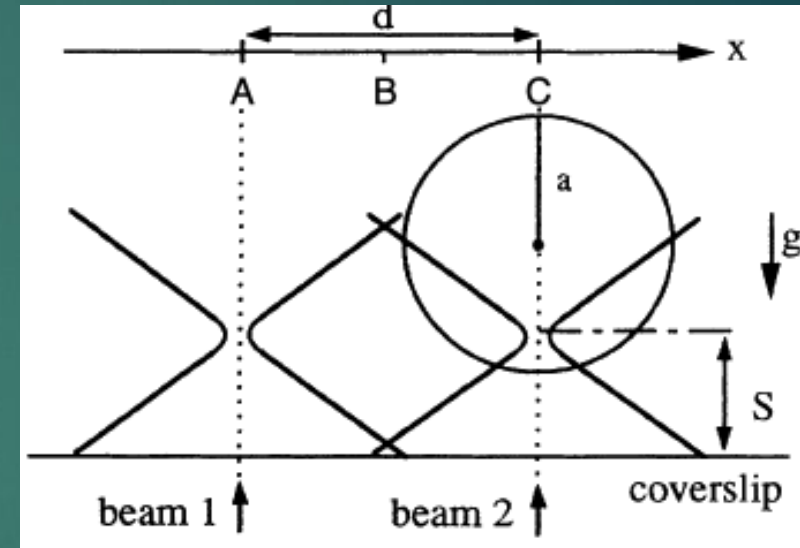
- I. Présentation de l'expérience
- II. Objectifs du stage
- III. Construction de l'équation de Fokker-Planck
- IV. Solution de l'équation de Fokker-Planck sous forme d'une intégrale de chemin
 - a. Construction de l'intégrale de chemin
 - b. Résolution numérique de l'intégrale de chemin
- V. Résolution matricielle de l'équation de Fokker-Planck
 - a. Premier schéma
 - b. Deuxième schéma
- VI. Conclusion

Présentation de l'expérience

3



Potentiel type Duffing utilisé pour piéger la particule



Faisceaux laser piégeant optiquement la particule en C

Objectifs du stage

Objectifs du stage

- Obtenir la distribution de probabilités de la particule en position et en vitesse

Objectifs du stage

- Obtenir la distribution de probabilités de la particule en position et en vitesse
- Obtenir les sections de Poincaré

Objectifs du stage

- Obtenir la distribution de probabilités de la particule en position et en vitesse
- Obtenir les sections de Poincaré
- Caractériser la dynamique de la particule brownienne en régime chaotique

Construction de l'équation de Fokker-Planck

Construction de l'équation de Fokker-Planck

$$\frac{d}{dx} a_j(t) = \nu_j(t) + \Xi_j(t)$$

Equation de Langevin générale

Construction de l'équation de Fokker-Planck

10

$$\frac{d}{dx} a_j(t) = \nu_j(t) + \Xi_j(t)$$

Equation de Langevin générale

$$\frac{\partial}{\partial t} \rho(a, t) + \frac{\partial}{\partial a} \left[\frac{da}{dt} \rho(a, t) \right] = 0$$

Equation de continuité

Construction de l'équation de Fokker-Planck

11

$$\frac{d}{dx} a_j(t) = \nu_j(t) + \Xi_j(t)$$

Equation de Langevin générale

$$\frac{\partial}{\partial t} \rho(a, t) + \frac{\partial}{\partial a} \left[\frac{da}{dt} \rho(a, t) \right] = 0$$

Equation de continuité

$$\frac{\partial}{\partial t} P(\vec{a}, t) = -\frac{\partial}{\partial \vec{a}} (\nu(\vec{a}) P(\vec{a}, t)) + \frac{1}{2} \frac{\partial}{\partial \vec{a}} \cdot \tilde{g} \cdot \frac{\partial}{\partial \vec{a}} P(\vec{a}, t)$$

Forme générale de l'équation de Fokker-Planck

Construction de l'équation de Fokker-Planck

12

$$\frac{d}{dx} a_j(t) = \nu_j(t) + \Xi_j(t)$$

Equation de Langevin générale

$$\frac{\partial}{\partial t} \rho(a, t) + \frac{\partial}{\partial a} \left[\frac{da}{dt} \rho(a, t) \right] = 0$$

Equation de continuité

$$\frac{\partial}{\partial t} P(\vec{a}, t) = -\frac{\partial}{\partial \vec{a}} (\nu(\vec{a}) P(\vec{a}, t)) + \frac{1}{2} \frac{\partial}{\partial \vec{a}} \cdot \tilde{g} \cdot \frac{\partial}{\partial \vec{a}} P(\vec{a}, t)$$

Forme générale de l'équation de Fokker-Planck

$$\frac{dv}{dt} = -\frac{\gamma}{m} v + \frac{1}{m} F + \frac{1}{m} \Xi$$

Equation de Langevin pour une
particule brownienne en contact
avec un thermostat

Construction de l'équation de Fokker-Planck

13

$$\frac{d}{dx} a_j(t) = \nu_j(t) + \Xi_j(t)$$

Equation de Langevin générale

$$\frac{\partial}{\partial t} \rho(a, t) + \frac{\partial}{\partial a} \left[\frac{da}{dt} \rho(a, t) \right] = 0$$

Equation de continuité

$$\frac{\partial}{\partial t} P(\vec{a}, t) = -\frac{\partial}{\partial \vec{a}} (\nu(\vec{a}) P(\vec{a}, t)) + \frac{1}{2} \frac{\partial}{\partial \vec{a}} \cdot \tilde{g} \cdot \frac{\partial}{\partial \vec{a}} P(\vec{a}, t)$$

Forme générale de l'équation de Fokker-Planck

$$\frac{dv}{dt} = -\frac{\gamma}{m} v + \frac{1}{m} F + \frac{1}{m} \Xi$$

Equation de Langevin pour une
particule brownienne en contact
avec un thermostat

$$\vec{a} = \begin{pmatrix} x \\ y \end{pmatrix} \quad \vec{v} = \begin{pmatrix} v \\ -\frac{\gamma}{m} v + \frac{1}{m} F(x) \end{pmatrix}$$
$$\Xi(t) = \begin{pmatrix} 0 \\ \frac{1}{m} \Xi(t) \end{pmatrix} \quad \tilde{g} = \begin{pmatrix} 0 & 0 \\ 0 & \frac{2\gamma k_b T}{m^2} \end{pmatrix}$$

Termes propres au problème

Construction de l'équation de Fokker-Planck

$$\frac{d}{dx} a_j(t) = \nu_j(t) + \Xi_j(t)$$

Equation de Langevin générale

$$\frac{\partial}{\partial t} \rho(a, t) + \frac{\partial}{\partial a} \left[\frac{da}{dt} \rho(a, t) \right] = 0$$

Equation de continuité

$$\frac{\partial}{\partial t} P(\vec{a}, t) = -\frac{\partial}{\partial \vec{a}} (\nu(\vec{a}) P(\vec{a}, t)) + \frac{1}{2} \frac{\partial}{\partial \vec{a}} \cdot \tilde{g} \cdot \frac{\partial}{\partial \vec{a}} P(\vec{a}, t)$$

Forme générale de l'équation de Fokker-Planck

$$\frac{dv}{dt} = -\frac{\gamma}{m} v + \frac{1}{m} F + \frac{1}{m} \Xi$$

Equation de Langevin pour une particule brownienne en contact avec un thermostat

$$\vec{a} = \begin{pmatrix} x \\ y \end{pmatrix} \quad \vec{v} = \begin{pmatrix} v \\ -\frac{\gamma}{m} v + \frac{1}{m} F(x) \end{pmatrix}$$

$$\Xi(t) = \begin{pmatrix} 0 \\ \frac{1}{m} \Xi(t) \end{pmatrix} \quad \tilde{g} = \begin{pmatrix} 0 & 0 \\ 0 & \frac{2\gamma k_b T}{m^2} \end{pmatrix}$$

Termes propres au problème

$$\frac{\partial}{\partial t} P(x, v, t) = -\frac{\partial}{\partial x} [v P(x, v, t)] - \frac{\partial}{\partial v} \left[\left(-\frac{\gamma}{m} v + \frac{1}{m} F(x) \right) P(x, v, t) \right] + \frac{\gamma k_b T}{m^2} \frac{\partial^2}{\partial v^2} P(x, v, t)$$

Equation de Fokker-Planck pour une particule brownienne en contact avec un thermostat

Solution de l'équation de Fokker-Planck sous forme d'une intégrale de chemin

Solution de l'équation de Fokker-Planck sous forme d'une intégrale de chemin

16

Construction de l'intégrale de chemin

$$\frac{\partial}{\partial t} P(q, t) = -\frac{\partial}{\partial q_i} K^i(q) P(q, t) + \frac{1}{2} \frac{\partial^2}{\partial q_i \partial q_j} Q^{ij}(q) P(q, t)$$

Solution de l'équation de Fokker-Planck sous forme d'une intégrale de chemin

17

Construction de l'intégrale de chemin

$$\frac{\partial}{\partial t} P(q, t) = -\frac{\partial}{\partial q_i} K^i(q) P(q, t) + \frac{1}{2} \frac{\partial^2}{\partial q_i \partial q_j} Q^{ij}(q) P(q, t)$$

$$K = \frac{-\gamma}{m} v + \frac{1}{m} F$$

$$Q = \frac{2\gamma k_b T}{m^2}$$

Solution de l'équation de Fokker-Planck sous forme d'une intégrale de chemin

Construction de l'intégrale de chemin

$$\frac{\partial}{\partial t} P(q, t) = -\frac{\partial}{\partial q_i} K^i(q) P(q, t) + \frac{1}{2} \frac{\partial^2}{\partial q_i \partial q_j} Q^{ij}(q) P(q, t) \quad K = \frac{-\gamma}{m} v + \frac{1}{m} F \quad Q = \frac{2\gamma k_b T}{m^2}$$

$$G(q, q_0, t_0, \tau) = \left(\frac{1}{2\pi\sigma^2} \right)^{\frac{1}{2}} \exp \left\{ -\frac{(q - \langle q \rangle)^2}{2\sigma^2} \right\}$$

Fonction de Green solution de l'équation de Fokker-Planck

Solution de l'équation de Fokker-Planck sous forme d'une intégrale de chemin

Construction de l'intégrale de chemin

$$\frac{\partial}{\partial t} P(q, t) = -\frac{\partial}{\partial q_i} K^i(q) P(q, t) + \frac{1}{2} \frac{\partial^2}{\partial q_i \partial q_j} Q^{ij}(q) P(q, t)$$

$$K = \frac{-\gamma}{m} v + \frac{1}{m} F$$

$$Q = \frac{2\gamma k_b T}{m^2}$$

$$G(q, q_0, t_0, \tau) = \left(\frac{1}{2\pi\sigma^2} \right)^{\frac{1}{2}} \exp \left\{ -\frac{(q - \langle q \rangle)^2}{2\sigma^2} \right\}$$

$$\langle q \rangle = q_0 + K(q_0) \tau + \dots \quad \sigma^2 = Q(q_0) \tau + \dots$$

Fonction de Green solution de l'équation de Fokker-Planck

Developpement autour de q_0 de la valeur moyenne et de la variance

Solution de l'équation de Fokker-Planck sous forme d'une intégrale de chemin

Construction de l'intégrale de chemin

$$\frac{\partial}{\partial t} P(q, t) = -\frac{\partial}{\partial q_i} K^i(q) P(q, t) + \frac{1}{2} \frac{\partial^2}{\partial q_i \partial q_j} Q^{ij}(q) P(q, t)$$

$$K = \frac{-\gamma}{m} v + \frac{1}{m} F$$

$$Q = \frac{2\gamma k_b T}{m^2}$$

$$G(q, q_0, t_0, \tau) = \left(\frac{1}{2\pi\sigma^2} \right)^{\frac{1}{2}} \exp \left\{ -\frac{(q - \langle q \rangle)^2}{2\sigma^2} \right\}$$

$$\langle q \rangle = q_0 + K(q_0)\tau + \dots \quad \sigma^2 = Q(q_0)\tau + \dots$$

Fonction de Green solution de l'équation de Fokker-Planck

Developpement autour de q_0 de la valeur moyenne et de la variance

$$G(q, q_0, t_0, \tau) = \left(\frac{1}{2\pi Q(q_0)\tau} \right)^{\frac{1}{2}} \exp \left\{ -\frac{[q - q_0 - \tau K(q_0, t_0)]^2}{2Q(q_0)\tau} \right\} \exp \left\{ \frac{\tau A [q - q_0 - \tau K(q_0, t_0) - A\tau^2]}{Q(q_0)} \right\}$$

Propagateur au point q_0

Solution de l'équation de Fokker-Planck sous forme d'une intégrale de chemin

21

Construction de l'intégrale de chemin

$$P(q, t) = \lim_{\substack{N \rightarrow \infty \\ \tau \rightarrow 0}} \prod_{i=1}^N \int \dots \int Dq_i \left(\frac{1}{2\pi\tau Q(q_0, t')} \right)^{\frac{1}{2}} \exp \left\{ -\frac{[q_i - q_0 - \tau K(q_0, t')]^2}{2\tau Q(q_0, t')} \right\} P(q_0, t_0) + O(\tau^2)$$

Solution de l'équation de Fokker-Planck sous forme d'une intégrale de chemin

22

Résolution numérique de l'intégrale de chemin

$$P(q, t) = \lim_{\substack{N \rightarrow \infty \\ \tau \rightarrow 0}} \prod_{i=1}^N \int \dots \int Dq_i \left(\frac{1}{2\pi\tau Q(q_0, t')} \right)^{\frac{1}{2}} \exp \left\{ -\frac{[q_i - q_0 - \tau K(q_0, t')]^2}{2\tau Q(q_0, t')} \right\} P(q_0, t_0) + O(\tau^2)$$

Résolution matricielle de l'équation de Fokker-Planck

$$\frac{\partial}{\partial t} P(x, v, t) = -\frac{\partial}{\partial x} [vP(x, v, t)] - \frac{\partial}{\partial v} \left[\left(-\frac{\gamma}{m}v + \frac{1}{m}F(x) \right) P(x, v, t) \right] + \frac{\gamma k_b T}{m^2} \frac{\partial^2}{\partial v^2} P(x, v, t)$$

Equation de Fokker-Planck pour une particule brownienne en contact avec un thermostat

Résolution matricielle de l'équation de Fokker-Planck

Premier schéma

$$\frac{\partial P(x, v, t)}{\partial t} = L_{FP} P(x, v, t)$$

Résolution matricielle de l'équation de Fokker-Planck

Premier schéma

$$\frac{\partial P(x, v, t)}{\partial t} = L_{FP} P(x, v, t)$$

$$L_{FP} = L_x + L_v = -v \frac{\partial}{\partial x} + \frac{\gamma}{m} + \left(\frac{\gamma}{m} v - \frac{1}{m} F \right) \frac{\partial}{\partial v} + \frac{\gamma k_b T}{m^2} \frac{\partial^2}{\partial v^2}$$

Opérateur de Fokker-Planck

Résolution matricielle de l'équation de Fokker-Planck

Premier schéma

$$\frac{\partial P(x, v, t)}{\partial t} = L_{FP} P(x, v, t)$$

$$L_{FP} = L_x + L_v = -v \frac{\partial}{\partial x} + \frac{\gamma}{m} + \left(\frac{\gamma}{m} v - \frac{1}{m} F \right) \frac{\partial}{\partial v} + \frac{\gamma k_b T}{m^2} \frac{\partial^2}{\partial v^2}$$

Opérateur de Fokker-Planck

$$x = l h_x,$$

$$v = m h_v$$

$$t = n \tau$$

Changement de variables

Résolution matricielle de l'équation de Fokker-Planck

Premier schéma

$$\frac{\partial P(x, v, t)}{\partial t} = L_{FP} P(x, v, t)$$

$$L_{FP} = L_x + L_v = -v \frac{\partial}{\partial x} + \frac{\gamma}{m} + \left(\frac{\gamma}{m} v - \frac{1}{m} F \right) \frac{\partial}{\partial v} + \frac{\gamma k_b T}{m^2} \frac{\partial^2}{\partial v^2}$$

Opérateur de Fokker-Planck

$$x = lh_x,$$

$$v = mh_v$$

$$t = n\tau$$

Changements de variables

$$e^{-\frac{\tau}{2} L_{FP}} P(l, m, n+1) = e^{\frac{\tau}{2} L_{FP}} P(l, m, n)$$

Propagateur de Fokker-Planck

Résolution matricielle de l'équation de Fokker-Planck

Premier schéma

$$\frac{\partial P(x, v, t)}{\partial t} = L_{FP} P(x, v, t)$$

$$L_{FP} = L_x + L_v = -v \frac{\partial}{\partial x} + \frac{\gamma}{m} + \left(\frac{\gamma}{m} v - \frac{1}{m} F \right) \frac{\partial}{\partial v} + \frac{\gamma k_b T}{m^2} \frac{\partial^2}{\partial v^2}$$

$$x = l h_x,$$

$$v = m h_v$$

$$t = n \tau$$

Opérateur de Fokker-Planck

Changements de variables

$$e^{-\frac{\tau}{2} L_{FP}} P(l, m, n+1) = e^{\frac{\tau}{2} L_{FP}} P(l, m, n)$$

$$P^*(l, m, n+1) = e^{-\frac{\tau}{2} L_{FP}} P(l, m, n+1)$$

Propagateur de Fokker-Planck

Solution intermédiaire

Résolution matricielle de l'équation de Fokker-Planck

Premier schéma

$$\frac{\partial P(x, v, t)}{\partial t} = L_{FP} P(x, v, t)$$

$$L_{FP} = L_x + L_v = -v \frac{\partial}{\partial x} + \frac{\gamma}{m} + \left(\frac{\gamma}{m} v - \frac{1}{m} F \right) \frac{\partial}{\partial v} + \frac{\gamma k_b T}{m^2} \frac{\partial^2}{\partial v^2}$$

$$x = l h_x,$$

$$v = m h_v$$

$$t = n \tau$$

Opérateur de Fokker-Planck

Changements de variables

$$e^{-\frac{\tau}{2} L_{FP}} P(l, m, n+1) = e^{\frac{\tau}{2} L_{FP}} P(l, m, n)$$

$$P^*(l, m, n+1) = e^{-\frac{\tau}{2} L_{FP}} P(l, m, n+1)$$

Propagateur de Fokker-Planck

Solution intermédiaire

$$\begin{cases} (1 - \frac{\tau}{2} L_x) P^*(l, m, n+1) = (1 + \frac{\tau}{2} L_v) P(l, m, n) \\ (1 - \frac{\tau}{2} L_v) P(l, m, n+1) = (1 + \frac{\tau}{2} L_x) P^*(l, m, n+1) \end{cases}$$

Résolution matricielle de l'équation de Fokker-Planck

Premier schéma

$$\pm L_x = \mp v \frac{1}{2h_x} \delta_x \quad \pm L_v = \pm \frac{\gamma}{m} \pm \left(\frac{\gamma}{m} v - \frac{1}{m} F \right) \frac{1}{2h_v} \delta_v \pm \left(\frac{\gamma k_b T}{m^2} \pm \frac{h_v^2}{6\tau} \right) \frac{1}{h_v^2} \delta_v^2$$

Réévaluation des opérateurs par l'approximation des hautes précisions

Résolution matricielle de l'équation de Fokker-Planck

Premier schéma

$$\pm L_x = \mp v \frac{1}{2h_x} \delta_x \quad \pm L_v = \pm \frac{\gamma}{m} \pm \left(\frac{\gamma}{m} v - \frac{1}{m} F \right) \frac{1}{2h_v} \delta_v \pm \left(\frac{\gamma k_b T}{m^2} \pm \frac{h_v^2}{6\tau} \right) \frac{1}{h_v^2} \delta_v^2$$

Réévaluation des opérateurs par l'approximation des hautes précisions

$$\delta_x P(l, m, n) = P(l+1, m, n) - P(l-1, m, n)$$

$$\delta_v P(l, m, n) = P(l, m+1, n) - P(l, m-1, n)$$

$$\delta_v^2 P(l, m, n) = P(l, m+1, n) - 2P(l, m, n) + P(l, m-1, n)$$

Résolution matricielle de l'équation de Fokker-Planck

Premier schéma

$$\begin{aligned}
 P^*(l, m, n+1) + \frac{v\tau}{4h_x} (P^*(l+1, m, n+1) - P^*(l-1, m, n+1)) &= P(l, m, n) + \frac{\tau}{2} \left[\frac{\gamma}{m} P(l, m, n) + \left(\frac{\gamma}{m} v - \frac{1}{m} F \right) \frac{h_v}{2} (P(l, m+1, n) - P(l, m-1, n)) \right] \\
 + \left(\frac{\gamma k_b T}{m^2} + \frac{h_v^2}{6\tau} \right) \frac{1}{h_v^2} [P(l, m+1, n) - 2P(l, m, n) + P(l, m-1, n)] \\
 \\
 P(l, m, n+1) - \frac{\tau}{2} \left[\frac{\gamma}{m} P(l, m, n+1) + \left(\frac{\gamma}{m} v - \frac{1}{m} F \right) \frac{1}{2h_v} [P(l, m+1, n+1) - P(l, m-1, n+1)] \right. \\
 \left. + \left(\frac{\gamma k_b T}{m^2} \pm \frac{h_v^2}{6\tau} \right) \frac{1}{h_v^2} [P(l, m+1, n+1) - 2P(l, m, n+1) + P(l, m-1, n+1)] \right] \\
 \\
 = P^*(l, m, n+1) - \frac{\tau v}{4h_x} [P^*(l+1, m, n+1) - P^*(l-1, m, n+1)]
 \end{aligned}$$

Résolution matricielle de l'équation de Fokker-Planck

33

Deuxième schéma

Résolution matricielle de l'équation de Fokker-Planck

Deuxième schéma

$$P_{l,m}^0 = \frac{\exp \left\{ -\frac{m\omega^2}{k_b T} \left[(l\Delta x - 4)^2 + (m\Delta v - 6)^2 \right] \right\}}{Q}$$

Distribution de probabilités au temps $t = n\Delta t = 0$

Résolution matricielle de l'équation de Fokker-Planck

Deuxième schéma

$$P_{l,m}^0 = \frac{\exp \left\{ -\frac{m\omega^2}{k_b T} \left[(l\Delta x - 4)^2 + (m\Delta v - 6)^2 \right] \right\}}{Q}$$

Distribution de probabilités au temps $t = n\Delta t = 0$

$$P_{l,m}^{n+1} = \frac{m\Delta t}{\gamma} \left[\frac{1}{2\Delta v^2} (P_{m-1} + P_{m+1}) - \frac{1}{\Delta v^2} P_m + \frac{k_b T}{2\Delta v^2} \left[P_{m-1} \exp \left\{ \frac{1}{2} \left[((m-1)\Delta v - 6)^2 - (m\Delta v - 6)^2 \right] \right\} \right. \right. \\ \left. \left. - P_m \left[\frac{\exp \left\{ -\frac{1}{2} ((m+1)\Delta v - 6)^2 \right\} + \exp \left\{ -\frac{1}{2} ((m-1)\Delta v - 6)^2 \right\}}{\exp \left\{ -\frac{1}{2} (m\Delta v - 6)^2 \right\}} \right] + P_{m+1} \exp \left\{ \frac{1}{2} \left[((m+1)\Delta v - 6)^2 - (m\Delta v - 6)^2 \right] \right\} \right] \right. \\ \left. - \frac{F}{\gamma} (P_{l,m}^n - P_{l,m-1}^n) \right] - (l\Delta v - 6) (P_{l,m}^n - P_{l-1,m}^n) - P_{l,m}^n$$

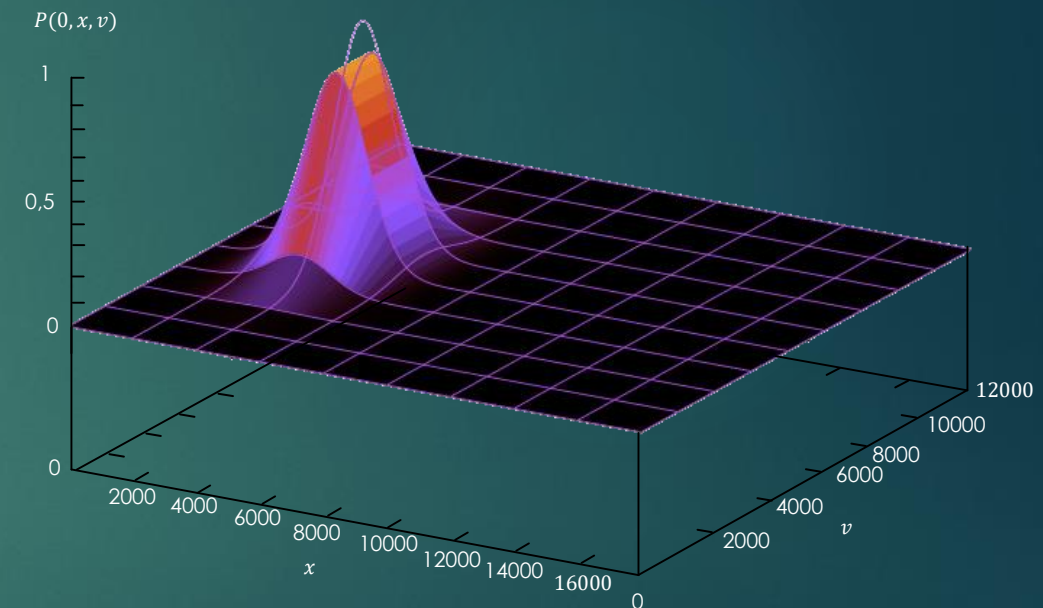
Distribution de probabilités au temps $t = (n+1)\Delta t$

Résolution matricielle de l'équation de Fokker-Planck

Deuxième schéma

$$P_{l,m}^0 = \frac{\exp \left\{ -\frac{m\omega^2}{k_b T} \left[(l\Delta x - 4)^2 + (m\Delta v - 6)^2 \right] \right\}}{Q}$$

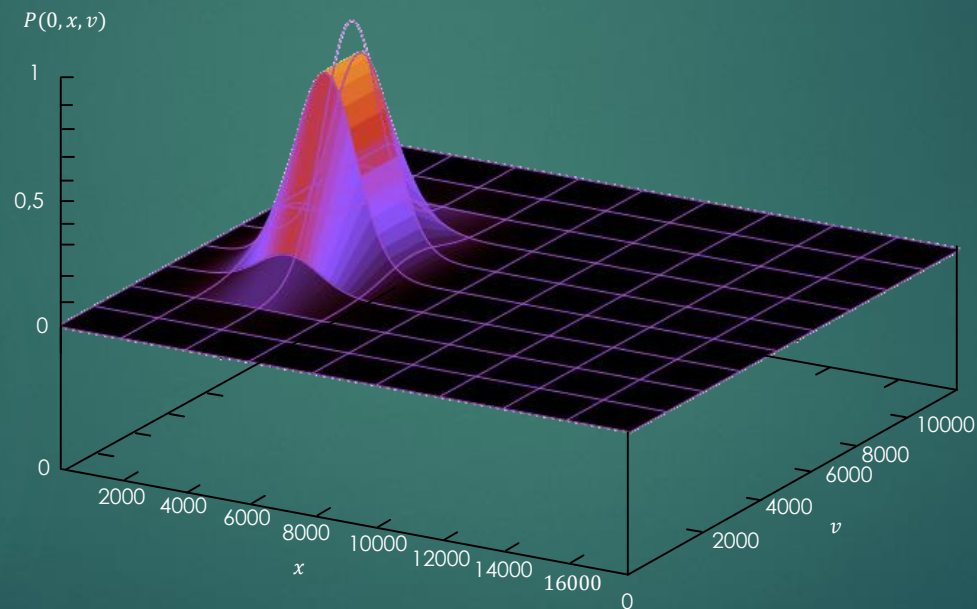
Distributions de probabilité au temps $t = n\Delta t = 0$



Graphique 3D de la distribution de probabilité au temps $t = n\Delta t = 0$

Résolution matricielle de l'équation de Fokker-Planck

Deuxième schéma



Graphique 3D de la distribution de probabilité
au temps $t = n\Delta t = 0$

Conclusion

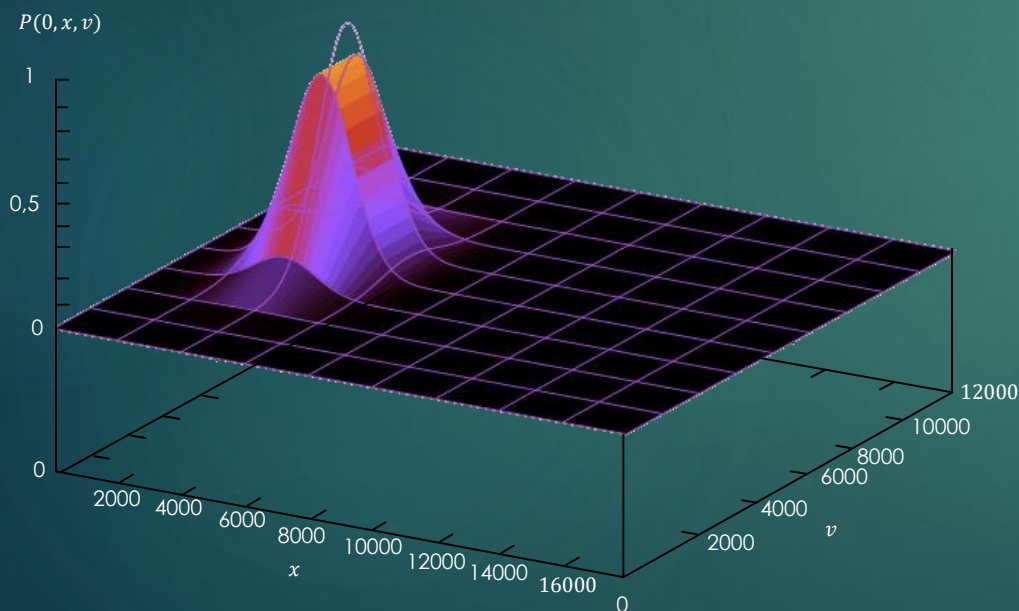
$$P(q, t) = \lim_{\substack{N \rightarrow \infty \\ \tau \rightarrow 0}} \prod_{i=1}^N \int \dots \int Dq_i \left(\frac{1}{2\pi\tau Q(q_0, t')} \right)^{\frac{1}{2}} \exp \left\{ -\frac{[q_i - q_0 - \tau K(q_0, t')]^2}{2\tau Q(q_0, t')} \right\} P(q_0, t_0) + O(\tau^2)$$

Distribution de probabilités sous la forme d'une intégrale de chemin

Conclusion

$$P(q, t) = \lim_{\substack{N \rightarrow \infty \\ \tau \rightarrow 0}} \prod_{i=1}^N \int \dots \int Dq_i \left(\frac{1}{2\pi\tau Q(q_0, t')} \right)^{\frac{1}{2}} \exp \left\{ -\frac{[q_i - q_0 - \tau K(q_0, t')]^2}{2\tau Q(q_0, t')} \right\} P(q_0, t_0) + O(\tau^2)$$

Distribution de probabilités sous la forme d'une intégrale de chemin

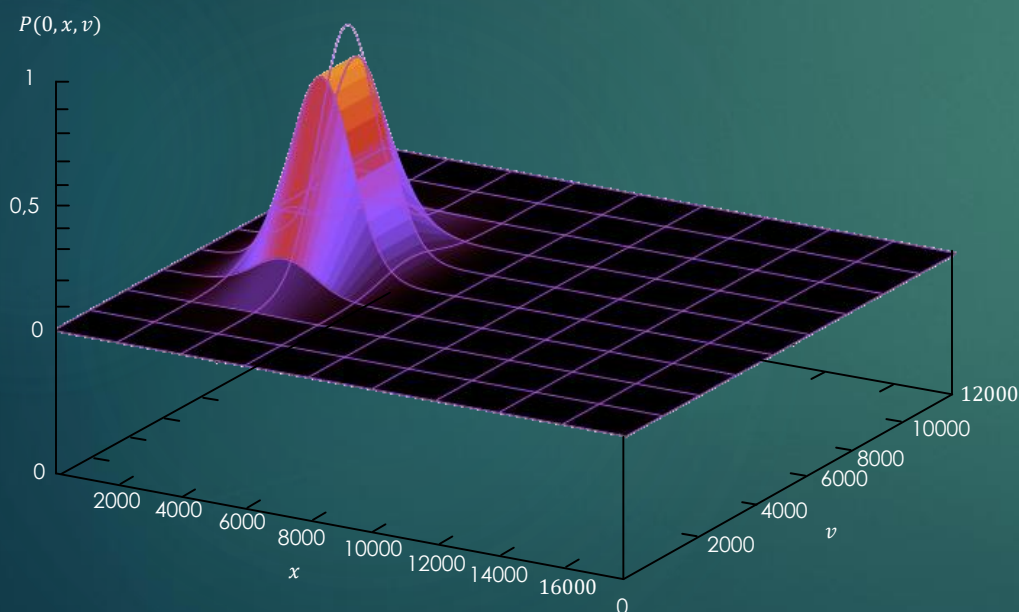


Graphique 3D de la distribution de probabilité au temps $t = n\Delta t = 0$

Conclusion

$$P(q, t) = \lim_{\substack{N \rightarrow \infty \\ \tau \rightarrow 0}} \prod_{i=1}^N \int \dots \int Dq_i \left(\frac{1}{2\pi\tau Q(q_0, t')} \right)^{\frac{1}{2}} \exp \left\{ -\frac{[q_i - q_0 - \tau K(q_0, t')]^2}{2\tau Q(q_0, t')} \right\} P(q_0, t_0) + O(\tau^2)$$

Distribution de probabilités sous la forme d'une intégrale de chemin



Graphique 3D de la distribution de probabilité au temps $t = n\Delta t = 0$

$$P_{l,m}^{n+1} = \frac{m\Delta t}{\gamma} \left[\frac{1}{2\Delta v^2} (P_{m-1} + P_{m+1}) - \frac{1}{\Delta v^2} P_m + \frac{k_b T}{2\Delta v^2} \left[P_{m-1} \exp \left\{ \frac{1}{2} \left[((m-1)\Delta v - 6)^2 - (m\Delta v - 6)^2 \right] \right\} \right. \right. \\ \left. \left. - P_m \frac{\left[\exp \left\{ -\frac{1}{2} ((m+1)\Delta v - 6)^2 \right\} + \exp \left\{ -\frac{1}{2} ((m-1)\Delta v - 6)^2 \right\} \right]}{\exp \left\{ -\frac{1}{2} (m\Delta v - 6)^2 \right\}} \right] + P_{m+1} \exp \left\{ \frac{1}{2} \left[((m+1)\Delta v - 6)^2 - (m\Delta v - 6)^2 \right] \right\} \right] \\ - \frac{F}{\gamma} (P_{l,m}^n - P_{l,m-1}^n) - (l\Delta v - 6) (P_{l,m}^n - P_{l-1,m}^n) - P_{l,m}^n$$

Distribution de probabilités au temps $t = (n+1)\Delta t$

Merci de votre attention

Bibliographie

42

- Kinetics of activated processes from nonstationary solutions of the Fokker–Planck equation for a bistable potential – B. Cartling.
- Chaotic distribution of non-linear systems perturbed by random noise - T. Kapitaniak.
- Escape and Synchronization of a Brownian Particle _ A. Simon & A. Libchaber.
- A Fourier-transform path integral formalism to compute dispersion probability distributions in variable ocean environments – A. Alvarez, R. Pennel, B. Garay & J. Tintore.
- Path-Integral Calculation of Multivariate Fokker-Planck Systems – L. Ingber.
- Numerical evaluation of path-integral solutions to Fokker-Planck equations. III. Time and functionally dependent coefficients – M.F. Wehner & W.G. Wolfer.
- Analysis of a randomly excited non-linear stretched string – G. Tagata.
- Optical trapping at ISIS: dimensions and numbers.
- Numerical evaluation of path-integral solutions to Fokker-Planck equations. II. Restricted stochastic processes – M.F. Wehner & W.G. Wolfer.
- Finite difference methods for the Fokker-Planck equation – J. C. Whitney.
- Numerical solution of two dimensional Fokker-Planck equations – M.P. Zorzano, H. Mais & L. Vazquez.

Code c++

43

```
1 #include <iostream>
2 #include <fstream>
3 #include <cmath>
4 #include <vector>
5 #include <cstdlib>
6 #include <math.h>
7 #define PI 3.14159265
8 using namespace std;
9
10 //-----Variables-----
11
12 double kb = 1.38064852*pow(10,-23); // constante de Boltzman
13 double g=pow(8.01,-9); // constante de friction
14 double T=300; // température
15 double m=5.5*pow(10,-16); // masse de la particule
16 double D=5.17*pow(10,-13);
17 double eta;
18 double st=30; //raideur du piege (k)
19 double tau=g/st;
20 double F=pow(2*kb*T*g,0.5)*eta; // force de Langevin
21 double omega=2*PI*(st/(2*PI*g)); // fréquence du puit
22 double L=2*PI/2.6; //????????????????????
23 double beta = g/m;
24 double Eb=m*pow(omega,2);
25 double H=Eb/(kb*T); //(m*omega*omega)/(kb*T)
26 double deltat=0.001;
27 double deltax=0.001;
28 double deltav=0.001;
29 int p=/*50*(1/D)*(2*PI*kb*T)/(m*pow(omega,2))*1;
30 int n=19000;
31 int l=12000;
32 double t=p*deltat; // temps d'ittération
33 double x=n*deltax-8; // position de la particule
34 double v=l*deltav-6; // vitesse de la particule
35 double K = -(g/m)*v+(F/m); // force frottement du fluide
```

Ensemble des variables utilisées

Code c++

44

```
//-----Normalisation de P-----  
  
double fct(double p, double n, double l){  
    double P;  
    return P=exp((-1/2)*((pow(n*deltax-6+2,2)+pow(l*deltav-6,2))));  
}  
double Integrale_Double(double (*fct)(double, double, double), double x_min, double x_max, double y_min, double y_max,  
    int N1, int N2){  
  
    double integ=0;  
    double h1=(x_max-x_min)/N1;  
    double h2=(y_max-y_min)/N2;  
  
    for(double i=x_min; i<x_max; i+=h1){  
        for(double j=y_min; j<y_max; j+=h2){  
            integ+=fct(0,i+h1,j+h2);  
        }  
    }  
  
    return integ*h1*h2;  
  
}  
  
double integ=Integrale_Double(fct,0,n,0,l,19000,12000);  
cout<<integ<<" "<<endl;
```

Normalisation de la distribution de probabilités

Code c++

```

int*** array;

array = new int**[p];
for(int i = 0; i < p; i++) {
    array[i] = new int*[n];
    for(int j = 0; j < n; j++) {
        array[i][j] = new int[l];
        for(int k = 0; k < l; k++) {
            array[0][0][0]=exp((-1/2)*((pow(j*deltax-6+2,2)+pow(k*deltav-6,2)))+i*0; //((2*PI)/H)
            cout<<i<<" "<<j<<" "<<k<<" "<<array[i][j][k]<<endl;

        }
    }
}

ofstream valeurs("/Users/vincenttrayter/Desktop/valeursP.txt"); //changer l'adresse de .txt
for(int i = 0; i < p; i++) {
    for(int j = 0; j < n; j++) {
        for(int k = 0; k < l; k++) {
            array[0][0][0]=exp((-1/2)*((pow(j*deltax-6+2,2)+pow(k*deltav-6,2)))+i*0; //((2*PI)/H)
            valeurs<<i<<" "<<j<<" "<<k<<" "<<array[i][j][k]<<endl;
            cout<<j<<" "<<k<<" "<<array[i][j][k]<<endl;

        }
    }
}

```

Remplissage de la matrice P[0][m][n]

```
array[0][0][0]=(1/L)*exp(-(2*Eb/(kb*T)));

array[1][1][1]=((deltat/beta)*((1/2*pow(deltav,2))*(array[0][1][0])+array[0][1][1])-(1/2*pow(deltav,2))*array[0][1][1]
[1]+(kb*t/(2*pow(deltav,2))*m)*((array[0][1][0]*exp(0.5*(pow((1-1)*deltav-6,2))-pow((1*deltav-6),2)))+(array[1][1][11]*exp(0.5*(pow((1+1)*deltav-6,2))-pow((1*deltav-6),2)))+(array[1][1][1]*exp(-0.5*(pow((1+1)*deltav-6,2))))
+(array[0][1][1]*exp(-0.5*(pow((1-1)*deltav-6,2))))+(array[0][1][1]/(exp(-0.5*(pow((1)*deltav-6,2)))))-(F/g)*(array[0][1][1]-array[0][1][0]))-(pow(1*deltav-6,2))*(array[0][1][1]-array[0][0][1])-array[0][1][1];

for(int i=1; i<p; i++){
    for(int j=1; j<n; j++){
        for(int k=1; k<l; k++){
            cout<<i<<" "<<j<<" "<<k<<" "<<array[i][j][k]<<endl;
        }
    }
}
```

Remplissage de la matrice P[l][m][n]

